

小口径円柱周辺の流況特性に関する基礎的研究

林 建二郎*・竹内俊雄**

1. はじめに

小口径円柱に作用する波力に関しては、従来主に、モリソン式および、それに類する揚力式を使用し、円柱に作用する波力（波の進行方向波力 F_x 、揚力 F_y ）と、作用する波の各種波動パラメータとの関係を明らかにする実験的研究が行なわれてきた。今後の課題としては、これら算定式中に含まれる係数の水深方向変化特性、および周期内時間変化特性等¹⁾を考慮した上で、これら算定式の妥当性について検討するとともに、式中の係数と円柱周辺の流況特性との関係を明らかにすることが上げられる。

波動場中に設けられた円柱周辺の流況特性を調べた実験的研究は、定常流や一様振動流中に円柱を設置した場合に比べて少ない。主なものとしては、円柱後流渦と揚力の関係を調べた Bidde²⁾ や、榎木、中村³⁾らの研究、円柱表面の波圧分布測定を行ない、揚力と発生渦の関係を調べた Issacson⁴⁾ らの研究、円柱まわりの波正分布測定および、水素気泡法を用いて円柱周辺の流況を観察した岩垣、石田⁵⁾の研究が上げられる。その結果、円柱周辺の流況特性の定性的評価は行なわれて来たが、定量的評価については、測定装置等の問題により、十分な測定法も確立されてなく不十分であるように思われる。

本研究はこれら円柱周辺の流況特性を定量的に評価する事を目的として、最近開発が進み一般的な流速計としての使用が認められつつあるレーザードップラー流速計による測定を試みたものである。又、同時に円柱まわりの圧力分布および、円柱に作用する波力の測定（進行波力 F_x 、揚力 F_y ）を行ない、これらお互いの関連性を明らかにすることを試みた。

2. 実験装置および方法

実験は長さ 39.6 m、幅 0.6 m、高さ 0.8 m、水槽の一端に勾配 18/100 の消波斜面をもつ造波水槽を用いて行なった。市販の三分力計（日章電機製）に小型圧力計が設置されている径 3 cm のアクリルパイプを取り付け

た波力検出装置を 図-1 に示すように造波機の前方 26 m の位置に設置した。この三分力計により、互いに 90° の角度をなす 2 方向力成分を同時に検出できる。又、三分力計に取り付けられているアクリルパイプは任意の角度に回転可能である。したがって、直円柱に作用する進行波力 F_x 、揚力 F_y 、および円柱表面に作用する波圧の同時測定が可能である。波力測定装置の静的検定を行なった結果、検定荷重とケージ出力の間には十分な直線性が認められると同時に二方向力間の相互干渉は 3% 以内であった。又この波力検出装置の水中固有振動数は水深 40 cm の場合においては 10 Hz であった。

圧力測定にあたっては、この種の実験目的を満たす精度（場所的分解能、動的特性に優れている）を有する圧力計は得難く、市販の数種のタイプの圧力計について検討した。その結果、直徑 1 cm のダイヤフラムを有する市販の圧力計（ST 研究所（株）製）を 図-1 に示すように加工したもの今回使用した。受圧面先端の穴の径については、場所的分解能、動的応答特性等の面からいろいろ検討した結果、図-1 に示すように 2 mm とした。

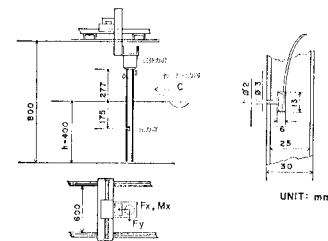


図-1 実験装置

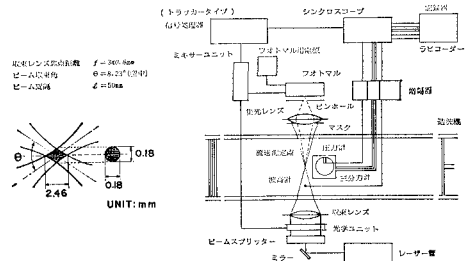


図-2 測定装置の概略

* 正会員 工修 防衛大学校助手 土木工学教室

** 正会員 工博 防衛大学校教授 土木工学教室

円柱周辺の流速測定にはレーザードップラー流速計を使用した。このレーザードップラー流速計による測定は、原理的に 1) 流れに無接触であり流れ場を乱さない、2) 空間分解能および方向性に優れている等の利点を持っているが、乱れ場の測定においては、原理的に不確な要素も多くその使用において十分検討する必要がある。しかし、測定に必要な散乱用粒子が得やすい水を用いての測定においては、かなり精度よく流速の時間変化を測定することが可能だと思われる。今回使用した測定モードは、図-2 に示すように、出力 15 mW He-Ne ガスレーザーからの光線を等しい光の強さに二分割し、この二分割された光の交点において流速を測定するフリンジモードである。図-2 は、水平水粒子速度 u を測定する場合であるが、ビームスプリッターを 90 度回転することにより鉛直水粒子速度 v の測定も可能である。又、周波数シフトシステムを使用することにより、順方向、逆方向の速測定が連続的に可能である。本システムにおける、流速測定体積寸法を、通常用いられている算定式⁶⁾より算定した結果を図-2 に示す。この流速計の使用において必要とされる散乱粒子については、別に考慮する事なく、通常の水道水をそのまま使用した。

次に、水、ガラス、空気の屈折率が異なるために、流速計の移動距離と 2 本のレーザー光線の交点の移動距離が異なるので、流速測定点は水路幅の中心に固定し、円柱を水路方向および水路直角方向に移動させることにより、円柱周辺の水粒子速度の場所的変化を調べた。

実験使用波の選定にあたり、水深 $h=30$ cm, 40 cm, 50 cm、周期 T が 0.7~2.5 秒、波高 H が 2 cm~15 cm の波浪諸元を有する波を、それぞれ約 5~10 分間作用させた場合の、進行波力 F_x 、揚力 F_y の時間変化特性を調べた。その結果、反射波の影響が少なく比較的長時間規則的な揚力の出現パターンが認められる、 $H=11$ cm,

Run NO.

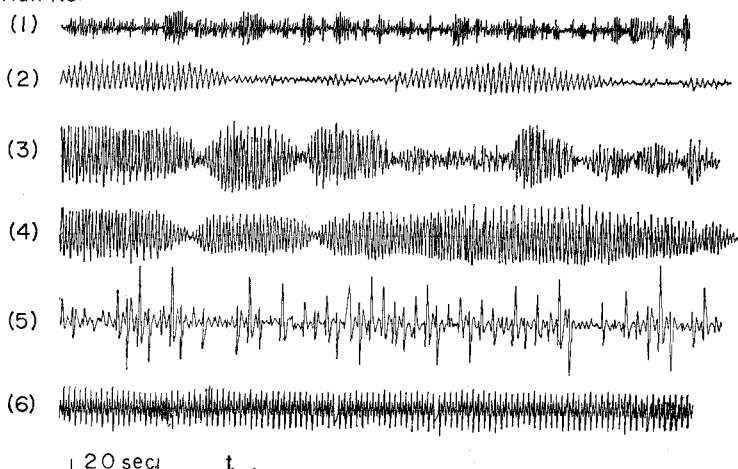


図-3 揚力の長時間測定例

$T=1.3$ 秒、 $h=40$ cm の波浪諸元を有する波を実験波として使用した。流速および圧力分布の測定は、静水面下 $z=-17.5$ cm の位置で行なった。

使用した測定システムの概略を図-2 に示す。測定においては、シンクロスコープで信号のモニターを行ない揚力の出現パターンが大体同じ場合のみラピコーダーに記録した。

3. 実験結果および考察

3.1 揚力の長時間変化について

規則波中に設置された直円柱に作用する揚力 F_y の長時間変化特性を調べるために、約 5 分間の連続測定を行なった結果の代表例を図-3 に示す。表-1 に、これらの波の波浪諸元を示す。rms $K \cdot C$ 数が 5 前後では図中(1)に示すようなパターンが多く見られたが、一部(2)に示すように、規則的な周期をもって振幅変調を行う例が認められた。rms $K \cdot C$ 数が 8~12 の間では、(3), (4) に示すように比較的長い周期で振幅変調する場合が多く認められた。しかし rms $K \cdot C$ 数が 15 以上になると、(5) に示すように不規則な変化のパターン形状を示すようである。(6) は今回使用した波の場合を示したものである。この場合はかなり長時間規則的な揚力が出現していることが認められる。

表-1 波浪諸元

Run No.	1	2	3	4	5	6
水深 h (cm)	50	30	30	50	30	40
波高 H (cm)	8.0	2.3	6.2	7.2	6.5	11
周期 T (秒)	1.0	2.6	1.3	1.6	2.5	1.3
rms $K \cdot C$ 数	5.2	6.2	10.1	12	18.2	11.8

揚力は規則波中においても不規則に出現し、従来、その大きさ、および周波数特性については統計的に取り扱われ、rms $K \cdot C$ 数をパラメータに整理されている^{2),3)}。

しかし、このような現象を報告した例は見受けられないようである。反射波の影響、および波力検出装置の応答特性等を考慮して今後もう少し検討する必要があるが、円柱後流渦の挙動特性を示す一つの現象だと思われる。

3.2 円柱周辺の流速および圧力測定

図-4 は、今回使用した波において測定された、進行波力 F_x 、揚力 F_y 、円柱表面の法線方向に作用する波圧 P 、水平水粒子速度 u 、水位変化 η の同時記録例、および座標系を示したものである。

この記録例は図中に示されている流速測定点を原点とする X, Y 座標系において $X = -3 \text{ cm}$, $Y = -2 \text{ cm}$ の位置に円柱を設置した場合である。この時圧力計は $\theta = 90^\circ$ の位置に設置されている。図中に記入されている点線は、 $\theta = 270^\circ$ の位置に圧力計を設置した場合である。又、図中には、水槽床部に標準砂をまいて円柱周辺の渦の挙動を観察した結果を模式的に示している。この図に示すように渦の出現パターンは、rms $K \cdot C$ 数をパラメーターにして分類されている円柱後流渦パターンにおいて非対称な渦が出現する場合^{2), 3), 5)}である。

次に、水平水粒子速度は、渦のはき出しにより急激に変化している事が認められる。又非対称な渦の出現のため、圧力の時間変化が $\theta = 90^\circ$ と $\theta = 270^\circ$ では異なっている事が認められる。

図-5 は、円柱を $X = 5 \text{ cm}$, $Y = -1 \text{ cm}$ の位置、および円柱後流渦の影響を受けない $X = 20 \text{ cm}$, $Y = 10 \text{ cm}$ に設置した場合の水平および鉛直水粒子速度 u, v の記録例である。図中には、ストークス波の第3近似解による計算値を点線で示している。水平粒子速度 u はストークス波の第3近似解でよく近似されている事が認められるが、鉛直成分については、実測値と計算値の差が多少認められる。 $X = 5 \text{ cm}$, $Y = -1 \text{ cm}$ の位置での測定においては、円柱後流渦の存在する位相と存在しない位相の周期性が認められる。又、円柱後流渦が存在する位相内では、水平および鉛直方向にほぼ同じ強さで流速が乱れている事が認められる。

図-6 は、円柱の設置位置を $X = -2 \text{ cm}$ に固定し、 Y を 0 から $\pm 5 \text{ cm}$ まで 0.5 cm 間隔に変化させた場合の水平水粒子速度 u の時間変化例を示したものである。図中には円柱設置位置の違いによる変化の様子を比較するために、円柱がない場合の流速の計算値（ストークス波の第3近似解）を点線で記入している。この測定における円柱後流渦の出現パターンは図-4 に示す場合と同様である。この図より、先に円柱後流渦のはき出しが見られる領域 ($Y = 0 \sim -5 \text{ cm}$) においては、位相 $t/T = 0$ 附近で急激な速度変化が認められ、円柱が存在しない場合に比べて 3 倍近い流速が測定されている。次に、 $Y = -0.5, -1.5, -4 \text{ cm}$ における測定記録例において、流速の出力信号が一部水平にホールドしている事が認められる。これは、レーザードップラー流速計の持つ問題点であり、統計処理を行なうにあたり考慮しなくてはいけない重要な問題である。これが生じる原因としては、1) 流速計の応答特性範囲を越す非常に速い速度変化が存在すること、2) 流速測定に必要な散乱粒子が十分に存在しないことなどが考えられる⁶⁾。それらについていろいろ検討した結果、今回の測定においては後者の影響によるものと思われる。したがって、今後は、このように速度変化が激しい領域での測定においては、測定に必要な

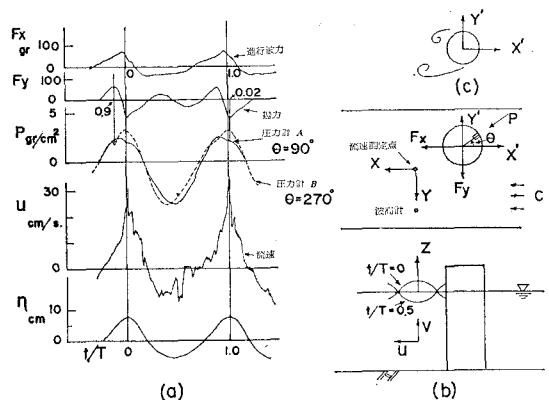


図-4 測定記録例および座標系

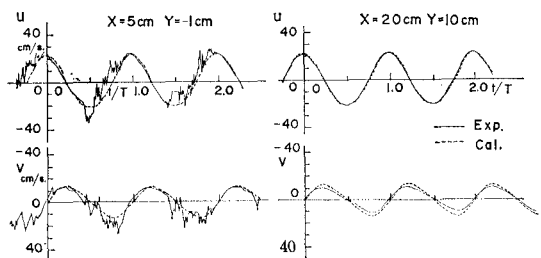


図-5 流速測定例(1)

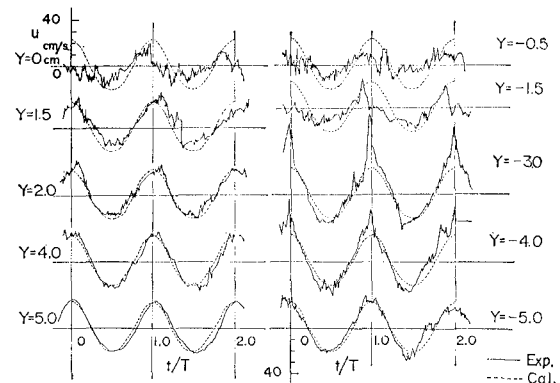


図-6 流速測定例(2)

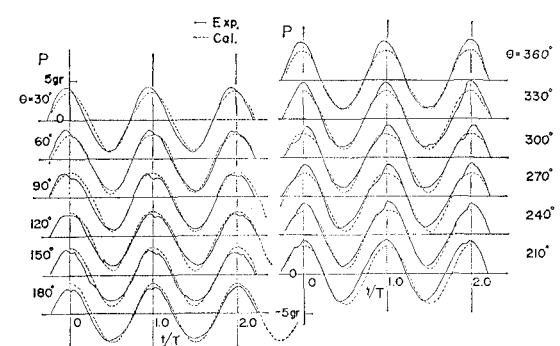


図-7 波压測定例

散乱用粒子が得やすい水の場合でも散乱用粒子の濃度、大きさなどを十分考慮する必要があり、現在この点について検討中である。

$X=-2 \text{ cm}$, $Y=-3 \text{ cm}$ の位置に固定された円柱を、 $\theta=0^\circ$ から 360° まで 15° おきに回転し、円柱表面法線方向に作用する波圧 P の時間変化を測定した。その結果の一例を図-7 に示す。測定中における円柱後流渦の出現状況は、図-4 に示されている場合と同様である。図中には、微小振幅波理論に基づく線形回折波理論による計算値を点線で示している。これらの波圧は、静水面状態における圧力値を基準とした波圧である。この図においても、非対称な渦の出現による、場所的に非対称な波圧時間変化特性が認められる。

3.3 流速、波圧、および揚力の関連性

図-8 に、作用方向が互いに反対である揚力のピーク値が出現する位相 $t/T=0.90$ 、および $t/T=0.02$ (図-4 参照) における水平水粒子速度の Y' 方向分布例を示す。図中においては、円柱の中心を原点とする X' , Y' 座標系を用いている (図-4 参照)。図中には、円柱が存在しない場合の流速値 (ストークス波第3近似解) を点線で示している。流速測定点と波力測定点の違いによる位相差は、0.01 以下でありその補正是行なっていない。この図において非対称な後流渦の出現およびその影響を受ける範囲が観察できる。又、図-8 と、図-4 の記録例より、円柱後流渦の出現と揚力のピーク値の出現に位相差が認められるようである。これについては、回折波の影響等を考慮して検討を行ないたい。

参 考 文 献

- 1) 林建二郎・竹内俊雄： 波動場における抗力係数、質量係数の時間変化について、第 25 回海講論文集、pp. 362～366, 1978.
 - 2) Bidde, D. D.: Laboratory study of lift force on circular piles, Proc. ASCE, WW4, pp. 595～614, 1971.
 - 3) 横木 亨・中村孝幸・喜田 浩： 円柱に作用する規則波による揚力について、第 22 回海講論文集、pp. 525～530, 1975.
 - 4) Isaacson, M. Q. and Maul, D. J.: Transverse forces on vertical cylinders in waves, J. Waterways, Harbors and Coastal Eng. Div., ASCE, Vol. 102, No. WW1, pp. 49～60, 1976.
 - 5) 岩垣雄一・石田 啓： 小口径円柱まわりの波圧分布と後流渦について、第 22 回海講論文集、pp. 531～537, 1975.
 - 6) F. Durst, A. Melling, and J. H. Whitelaw: Principles and Practice of Laser-Doppler Anemometry, Academic Press, 1976.
-